

بررسی اثر تزریق سلول‌های بنیادی مزانشیمی جدا شده از بافت چربی و محیط رویی کشت این سلول‌ها بر ارت翔 لکوسیتی مغز موش‌های مبتلا به آنسفالومیلیت خودایمن تحربی

فروزان یوسفی^۱، معصومه ابتکار^{۲*}، مسعود سلیمانی^۳، سید محمود هاشمی^۴

۱- کارشناس ارشد، گروه ایمنولوژی، دانشکده علوم پزشکی، دانشگاه تربیت مدرس، تهران، ایران

۲- دانشیار، گروه ایمنولوژی، دانشکده علوم پزشکی، دانشگاه تربیت مدرس، تهران، ایران

۳- دانشیار، گروه خون‌شناسی، دانشکده علوم پزشکی، دانشگاه تربیت مدرس، تهران، ایران

۴- دانشجوی دکتری تخصصی، گروه ایمنولوژی، دانشکده علوم پزشکی، دانشگاه تربیت مدرس، تهران، ایران

آدرس نویسنده مسئول: ایران، تهران، کدپستی: ۱۴۱۱۷۱۳۱۶، دانشگاه تربیت مدرس، دانشکده علوم پزشکی، گروه ایمنولوژی
Email: ebtekarm@modares.ac.ir

پذیرش مقاله: ۹۰/۱۰/۰۶

دریافت مقاله: ۹۰/۱۰/۲۱

چکیده

هدف: بررسی اثر تزریق سلول‌های بنیادی مزانشیمی جدا شده از بافت چربی و محیط رویی کشت این سلول‌ها بر ارت翔 لکوسیتی مغز موش‌های مبتلا به آنسفالومیلیت خودایمن تحربی

مواد و روش‌ها: در ۲۰ سر موش ماده/6 مدل آنسفالومیلیت خودایمن تحربی القا و سپس موش‌ها به چهار گروه پنج تایی تقسیم شدند و پس از ۱۵ روز، زمانی که تقریباً شدت بالینی علائم به یک رسید، به دو گروه از موش‌ها ۱۰ عدد سلول بنیادی مزانشیمی جدا شده از بافت چربی موش/6 C57BL به صورت درون‌رگی و 2×10^6 عدد سلول بنیادی مزانشیمی جدا شده از بافت چربی به درون صفاق و به یک گروه از آن‌ها ۶ نوبت محیط رویی کشت سلول‌های بنیادی مزانشیمی و هر نوبت یک سی سی به صورت درون صفاقی تزریق شد. یک گروه از موش‌ها نیز بدون هیچ تیماری به عنوان گروه کنترل باقی ماند. پس از ۶۰ روز اثر سلول‌ها و محیط رویی کشت این سلول‌ها بر ارت翔 لکوسیتی مغز در چهار گروه با هم مقایسه شد.

نتایج: ارت翔 لکوسیتی در گروه‌هایی که سلول بنیادی مزانشیمی و محیط رویی کشت سلول‌های مزانشیمی را دریافت کرده بودند در مقایسه با گروه کنترل آنسفالومیلیت خودایمن تحربی که هیچ تیماری دریافت نکرده بود، کاهش معنی داری نشان داد ($P < 0.05$). وزن و میزان بقای موش‌های تیمار شده در مقایسه با گروه کنترل افزایش داشت.

نتیجه‌گیری: سلول‌های بنیادی مزانشیمی جدا شده از چربی خواص تنظیمی اینمنی و ترمیم بافت عصبی دارند که می‌توانند سبب بهبود موش‌های مبتلا به آنسفالومیلیت خودایمن تحربی در مقایسه با گروه کنترل شود.

کلیدواژگان: سلول بنیادی مزانشیمی جدا شده از بافت چربی، آنسفالومیلیت خودایمن تحربی، محیط رویی کشت

— مجله علوم پزشکی مدرس: آسیب‌شناسی زیستی، دوره ۱۴، شماره ۴، زمستان ۱۳۹۰، صفحات: ۸۸-۷۵ —

مقدمه

است که باعث التهاب در مغز و نخاع، دمیلینه شدن پیشرونده

بافت سیستم عصبی مرکزی، آسیب آکسون‌های نورونی و از

دست رفتن عملکرد نورون‌های سیستم عصبی مرکزی می‌شود

ام اس (MS) یک بیماری مزمن و

خودایمن سیستم عصبی مرکزی (Central Nervous System)

(Acetate) میتوکساندران (Mitoxandran) و ناتالیزامب (Natalizamb) است که اغلب به دلیل مسمومیت کبدی، هزینه زیاد و عدم پاسخ‌دهی تمامی بیماران به این داروها، درمان‌های قطعی محسوب نمی‌شوند و از آنجایی که این داروها فقط سیستم ایمنی را سرکوب می‌کند و در ترمیم بافت عصبی نقشی ندارد [۸، ۹]، و از سوی دیگر؛ این بیماری علاوه بر زیان‌های اقتصادی زیادی که به دنبال دارد، اغلب افراد زیر ۴۰ سال را دچار می‌کند، بنابراین نیاز به رویکردهای جدید برای درمان این بیماری، اجتناب‌ناپذیر است. در این راستا سلول درمانی (Cell Therapy) یا استفاده از سلول‌های بنیادی توجهات زیادی را در دهه‌های اخیر به سمت خود معطوف کرده است.

سلول‌های بنیادی سلول‌های چند توانه با قابلیت تکثیر و بازسازی خود هستند که می‌توانند با تمایز به سلول‌های سایر بافت‌ها از جمله سلول‌های عصبی در ترمیم آسیب‌های بافتی نقش داشته باشند. در این راستا تاکنون پژوهش‌های گوناگونی در ارتباط با استفاده از سلول‌های بنیادی خون‌ساز، جنینی، پیش‌سازهای عصبی برای درمان MS انجام شده است. اغلب این تحقیقات در مدل حیوانی این بیماری یعنی EAE انجام گرفته شده است. اگر چه همگی این پژوهش‌ها استفاده از این سلول‌ها را امیدبخش گزارش داده اند [۱۰-۱۲] اما استفاده از هریک این سلول‌ها با محدودیت‌هایی همراه است؛ مثلاً استفاده از سلول‌های پیش‌ساز عصبی (Neural Progenitor Cell: NPC) نخستین بار در سال ۲۰۰۵ برای درمان این بیماری به کار رفت اما به دلیل محدودیت دسترسی به این سلول‌ها و کشت سلولی نسبتاً دشوار آن‌ها استفاده آن‌ها نیز محدود شد یا براساس پژوهشی که در سال ۲۰۰۸ انجام شده، اگر چه استفاده از سلول‌های بنیادی جنینی (Embryonic Stem Cell: ESC) در درمان MS با موفقیت‌هایی همراه بوده است اما مشکلاتی از قبیل مستعد بودن این سلول‌ها برای تشکیل تومور، استفاده از آن‌ها را تا زمان حل این مشکل به تعویق انداخته است [۱۳].

سلول‌های بنیادی خون‌ساز (Hematopoietic Stem Cells)

[۱]. همکنون MS رایج‌ترین بیماری عصبی است که اغلب افراد زیر ۳۰ سال را متأثر می‌کند و مشکلات اجتماعی و اقتصادی قابل ملاحظه‌ای را به همراه دارد [۲]. عواملی که دقیقاً منجر به MS می‌شوند تاکنون شناسایی نشده‌اند؛ اما برطبق برخی از شواهد عواملی همچون زمینهٔ زنیکی افراد، عفونت ویروسی، نقص در عملکرد میتوکندری و تفاوت‌های وابسته به جنس از قبیل تفاوت‌های هورمونی را عوامل احتمالی این بیماری می‌دانند [۳-۵]. حالت فعال MS شامل ارتشاچ و مهاجرت سلول‌های ایمنی فعال شده از جمله لنفوسيت B، لنفوسيت T و ماکروفازها به بافت عصبی مرکزی و تغییرات مقابله در آستروسيت‌ها (Astrocytes) و میکروگلیاهای (Microglia) این ناحیه است. به این صورت که ابتدا در اثر عاملی ناشناخته آنتی‌ژن‌های میلین (Antigen) توسط سلول دندریتیکی عرضه کننده آنتی‌ژن Presenting Dendritic Cells) در سیستم لنفاوی محیطی به سلول T عرضه شده و باعث تکثیر سلول‌های T خود واکنشگر و فعال در گره‌های لنفاوی می‌شود. سپس این سلول‌های T خود واکنشگر از سد خونی-مغزی عبور کرده و وارد سیستم عصبی مرکزی شده و در این مکان با آنتی‌ژن‌های میلین واکنش داده و سیتوکین‌های التهابی و کموکین‌هایی را تولید می‌کند که باعث مهاجرت بیشتر سلول‌های ایمنی به این مکان و تخریب پیش‌رونده میلین در سیستم عصبی مرکزی و ایجاد پلاک‌های اسکلروزی (Sclerosistic Plaques) در مغز و نخاع می‌شود [۶].

آسفالومیلت خودایمن تجربی (Experimental Autoimmune Encephalomyelitis: EAE) یک مدل حیوانی جایگزین مناسب برای MS است که از نظر آسیب‌های بافت‌شناسی و علایم بالینی می‌تواند MS را به خوبی تقییل کند؛ چرا که در این مدل نیز بیماری عصبی به صورت مزمن، همراه با فازهای حمله (Relapse) و سرکوب حمله (Remission) ایجاد و همانند MS پلاک‌های سخت اسکلروزی در سیستم عصبی مرکزی تشکیل می‌شود [۷].

درمان‌های رایج برای این بیماری شامل ایترافرون بتا (Glatiramer) گلاتیرامر استات (Interferon Beta: IFN- β)

EAE اثر سلول‌های بنیادی در ارتاشاگ لوكوسیتی در مغز موش‌های

جدا و پس از قطعه قطعه شدن، نیم ساعت در مجاور کلاژناز نوع ۱ قرار داده شد. بافت چربی هر موش در لوله‌های ۲۰ میلی‌لیتری جداگانه قرار گرفت و درون هر لوله یک سی‌سی (Eagle Minimum DMEM) کلاژناز که در ۴ سی‌سی محیط Essential Medium/Alpha Medium) بدون سرم رقیق شده است، ریخته شد و هم زمان بافت چربی را طی بارهای متواالی و با سرعت وارد پیپت کرده و خارج شد و سپس در انکوباتور ۳۷ درجه سانتی‌گراد به مدت ۳۰ دقیقه قرار داده شد. سپس لوله‌ها از انکوباتور خارج و به منظور خشی کردن اثر کلاژناز محلول با ۴ سی‌سی محیط کشت DMEM حاوی درصد FBS (Fetal Bovine Serum) رقیق و سپس ۱۰ سانتیفیوژ انجام شد (به مدت ۱۵ دقیقه با دور در دقیقه). پس از سانتیفیوژ سلول‌های بافت چربی در مایع رویی قرار می‌گیرند و سایر سلول‌ها به همراه گلبول‌های قرمز در کف لوله قرار می‌گیرند و از سوسپانسیون NHCl₄ برای لیز گلبول‌های قرمز استفاده، سپس شستشو و مجدد سانتیفیوژ انجام شد. پس از جدا کردن مایع رویی، رسوب کف لوله که حاوی سلول‌های MSC است، تکان داده شد و در یک سی‌سی محیط DMEM حل و به فلاسک‌های T25 منتقل شد.

کشت سلولی و جدا کردن سلول‌های MSC با

استفاده از خاصیت چسبندگی آنها به کف ظرف

پس از آنکه محتوی هر لوله به یک فلاسک T25 منتقل شد، ۱۰ سی‌سی محیط کشت DMEM حاوی FBS شد، ۱۵ درصد درون هر فلاسک ریخته و فلاسک‌ها به انکوباتور با دمای ۳۷ درجه سانتی‌گراد منتقل شد. سلول‌های مزانشیمی به دلیل خاصیت چسبندگی خود پس از ۲۴ ساعت به کف فلاسک می‌چسبند و شروع به تکثیر می‌کنند. پس از ۴ روز کف فلاسک تقریباً از سلول سرریز می‌شود. سلول‌های MSC در این مرحله دوکی شکل و کاملاً کشیده شده و به صورت تقریباً موازی با هم قرار می‌گیرند. طی این ۴ روز یک بار محیط کشت سلول‌ها با محیط تازه تعویض شد (روز سوم) تا

HSC) نیز تاکنون در تحقیقات مختلف برای درمان بیماری‌های خودایمن از جمله MS به کار رفته است اما از آن‌جا که هنگام استفاده از این سلول‌ها باید از داروهای سرکوب کننده این‌منی استفاده کرد، بنابراین اخیراً توجه پژوهشگران به سمت سلول‌های بنیادی مزانشیمی (Mesenchymal Stem Cell: MSC) که محدودیت‌های ذکر شده در مورد سایر سلول‌های بنیادی را ندارد جذب شده است. سلول‌های MSC، سلول‌های فیبروبلاستی شکل با منشاء مزودرمی، از دسته سلول‌های غیرخون‌ساز هستند که به دلیل برخی از ویژگی‌های منحصر به فرد خود از جمله دفع این‌منی کمتر و ترشح فاکتورهای ضروری برای تکثیر و تمايز، توجه پژوهشگران را برای استفاده از آن‌ها در فرایند ترمیم بافت‌ها و سلول‌های تخربی شده به خود جلب کرده است [۱۶-۱۴].

سلول‌های MSC را می‌توان از اندام‌های مختلف از جمله مغز استخوان، چربی، کبد، پوست و بند ناف جدا کرد [۱۷]. در این میان سلول‌های MSC جدا شده از بافت چربی به دلیل تهیه و دسترسی آسان‌تر و همچنین مقدار فراوان‌تر نسبت به سلول‌های MSC جدا شده از سایر بافت‌ها بیشتر مورد توجه قرار گرفته است، به گونه‌ای که مقدار سلول‌های MSC جدا شده از چربی نسبت به سلول‌های بنیادی جدا شده از مغز استخوان ۵۰۰ برابر تخمین زده می‌شود و فرایند جداسازی این نوع سلول‌ها در بافت چربی راحت‌تر بوده و با درد و هزینه کمتری همراه است [۱۸، ۱۹]. در مطالعه حاضر برای اولین بار اثر سلول‌های MSC جدا شده از بافت چربی و همچنین محیط کشت رویی این سلول‌ها بر ارتاشاگ لوكوسیتی مغز موش‌های EAE و مقایسه این گروه با موش‌های تیمار نشده بررسی شده است.

مواد و روش‌ها

جداسازی سلول‌های بنیادی مزانشیمی از بافت

چربی صفاقی موش C57BL/6

بافت چربی شکمی دو موش C57BL/6 در شرایط استریل

اویل رد (Oil Red O) و پلیتی که محیط تمایزی استخوان در آن قرار داشت با رنگ آلیزارین قرمز (Alizarin Red) مطابق با روش‌های استاندارد رنگ‌آمیزی شد.

شناسایی سلول‌های MSC‌ها با استفاده از شاخص‌های سطحی CD

محیط رویی ۴ فلاسک T75 که به درجه سرریزی رسیده و تقریباً ۹۰ درصد کف فلاسک را پوشانده بودند خالی کرده و کف فلاسک خالی شده با PBS (Phosphate Buffer Saline) شستشو (Ethylenediaminetetraacetic Acid) EDTA داده شد. سپس سلول‌ها به مدت ۳ دقیقه تریپسینه شدند تا به صورت تک تک و منفرد در آیند. پس از آن فلاسک حاوی تریپسین با دو سی‌سی FBS + EDTA خنثی شد و در نهایت محتوی همه فلاسک‌ها در یک لوله ۵۰ میلی‌لیتری ریخته شد و سلول‌ها پس از شمارش، سانتریفوژ FBS و محیط رویی آن‌ها دور ریخته شد و ۱۰ سی‌سی از PBS + EDTA به رسوب کف لوله اضافه شد. سپس مجدداً ۵ دقیقه با دور ۱۵۰۰ دور در دقیقه سانتریفوژ و پس از دور ریختن محیط رویی لوله، سلول‌های رسوب شده در کف لوله با ۱۰ میلی‌لیتر از محلول (۳ درصد + FBS + PBS) به مدت ۳۰ دقیقه مجاور شد. پس از ۳۰ دقیقه محلول مورد نظر سانتریفوژ و مجدداً پس از تخلیه محلول رویی لوله با ۱۰ سی‌سی PBS + EDTA ۱۰۰ سانتریفوژ انجام شد. سپس در هر لوله اپندورف ۱۰ لاندا محیط حاوی سلول + FBS ۵ درصد + PBS ریخته و از این مرحله به بعد در تاریکی و سرما انجام شد. سپس لوله‌های اپندورف ۳ بار و هر بار با دو سی‌سی محلول FBS ۵ درصد و PBS میکروسانتریفوژ شد (۱۰ دقیقه با ۳۲۰۰ دور در دقیقه). در مرحله بعد، محلولی متشكل از ۱۰ سی‌سی PBS و ۱۰ سی‌سی پارافرمالدھید و ۱۰ سی‌سی PBS + FBS تهیه کرده و ۲ سی‌سی از این محلول به هر کدام از اپندورف‌های تهیه شده در مرحله قبل اضافه شد. سپس آنتی‌بادی‌های مربوط به هر لوله به محتوی اپندورف‌ها افزوده

سلول‌های غیرچسبنده جدا شده و از طرفی محیط تازه برای سلول‌های مزانشیمی در حال تکثیر فراهم شود و درصد خلوص سلول‌های MSC بیشتر شود. پس از پرشدن کف فلاسک از سلول‌های دوکی شکل، سلول‌ها تریپسینه و سپس پاساز داده شدند. سپس فلاسک‌ها به انکوباتور با دمای ۳۷ درجه سانتی‌گراد منتقل شد. محیط کشت به مدت ۱۰ روز هر ۳ روز یکبار تعویض شد تا سلول‌ها به حالت سرریزی (Confluence) برسند.

تمایز سلول‌های MSC به سلول‌های چربی و استخوان

سلول‌های MSC از پاساز دوم پس از تریپسینه شدند از کف فلاسک جدا و در محیط‌های تمایزی ویژه چربی و استخوان قرار داده شد. عمل تریپسینه کردن به این صورت انجام شد که به سلول‌های چسبنده به کف فلاسک ۲ سی‌سی تریپسین اضافه کرده و فلاسک به آرامی تکان داده شد و پس از ۲ دقیقه فلاسک زیر میکروسکوپ نوری مشاهده شد که اغلب سلول‌ها از حالت کشیده به حالت کروی درآمده باشند. سلول‌ها پس از شمرده شدن به دو پلیت ۶ خانه منتقل شدند. در این دو پلیت سلول‌های MSC به گونه‌ای توزیع می‌شود که در هر خانه ۲۰۰۰۰۰ سلول وجود داشته باشد. سپس در پلیت اول محیط تمایزی مخصوص چربی اضافه شد که شامل ۱۰ سی‌سی محیط DMEM حاوی FBS ده درصد، پنی‌سیلین-استریتومیسین ۱ درصد، دگزاماتازون (Sigma, Germany) ۰/۵ میلی‌مولار (Dexamethasone) اندوماتازین ۵۰ میلی‌مولار (Sigma)، ایزو بوتیل متیل زانتین (Isobutyl Methyl Xanthine) ۰/۵ میلی‌مولار (Sigma) بود و در پلیت دوم محیط مخصوص تمایز سلول‌های چربی افزوده شد که شامل ۱۰ سی‌سی محیط DMEM حاوی FBS ده درصد، آسکوربیک اسید ۵۰ میلی‌گرم در میلی‌لیتر، بتا گلیسرول فسفات ۱۰ میلی‌مولار و ۱۰^{-۸} مولار دگزاماتازون بود. پس از ۲۱ روز پلیتی که محیط تمایزی چربی در آن قرار داشت با رنگ

EAE اثر سلول‌های بنیادی در ارتضاح لوكوسیتی در مغز موش‌های

این نشانگرها مثبت باشند.
CD34، CD24، CD31، CD11b، CD45 که انتظار
می‌رود MSC برای این شاخص‌ها منفی باشد.
CD11b، CD24، CD45 هر سه یک ایزو‌تیپ مشترک
به نام IgG2a داشتند.

شد. در مرحله آخر محتوی اپندورف به لوله‌های مخصوص
فلوسيتوتمتری منتقل و به منظور تحلیل نتایج، لوله‌ها به دستگاه
فلوسيتوتمتری منتقل شد. آنتی‌بادی‌هایی که برای شناسایی
مورد استفاده قرار گرفت بر علیه نشانگرهای زیر بود:
MSCs CD29، CD73، CD105 که انتظار می‌رود MSCs

جدول ۱ شدت علایم بالینی در موش‌های C57

| درجه شدت علایم | علایم |
|----------------|--|
| . | سالم |
| ۰/۵ | ضعف انتهایی دم و از بین رفتن تونوس دم |
| ۱ | فلج کامل دم |
| ۱/۵ | ضعیف شدن پاهای عقبی و لرزش |
| ۲ | ضعف شدت بیشتر پاهای عقبی، عدم تعادل، راه رفتن ناموزون |
| ۲/۵ | فلج جزیی پاهای عقبی یا فلچ کامل یک پای عقبی |
| ۳ | فلچ کامل پاهای عقبی به گونه‌ای که حیوان پای خود را روی زمین می‌کشد |
| ۴ | فلچ جزیی پاهای جلویی که این فلچ از طریق قدرت آویزان شدن حیوان به کمک پاهای جلویی سنجیده می‌شود |
| ۴/۵ | فلچ کامل پاهای جلویی |
| ۵ | مرگ حیوان با واسطه EAE |

براساس روش توماس جفرسون (Thomas Jefferson) انجام
گرفت (جدول ۱).

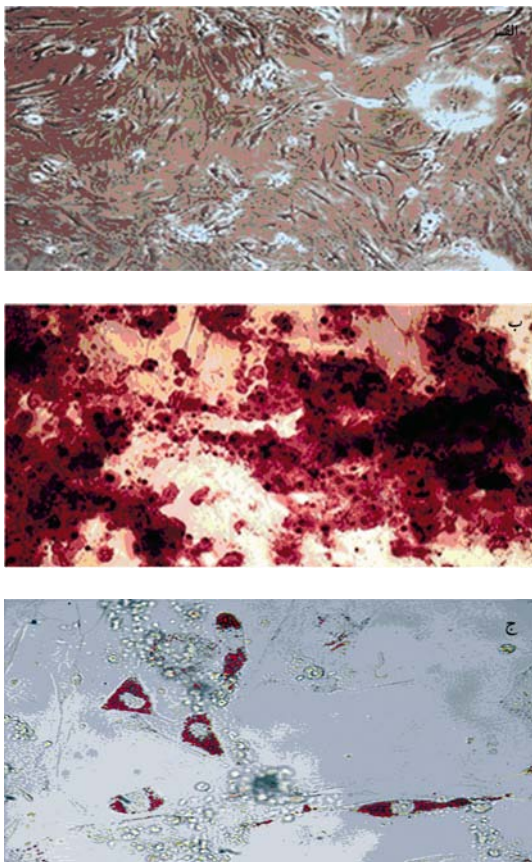
C57BL/6 به موش‌های MSC پیوند سلول

- ۱- ۲ سر موش که مدل EAE در آن‌ها القا شده بود به چهار گروه ۵ تایی تقسیم شد و یک گروه ۵ تایی دیگر متشکل از موش‌های سالم به عنوان گروه کنترل در نظر گرفته شد و در مجموع در این آزمایش ۵ گروه به ترتیب زیر وجود داشت:
- ۱- گروه سالم که به عنوان کنترل در نظر گرفته می‌شد، در این گروه PBS به صورت درون‌رگی تزریق شد.
- ۲- گروه EAE بدون هیچ تیماری
- ۳- گروه EAE با تزریق 10^1 سلول MSC به صورت درون صفاقی
- ۴- گروه EAE با تزریق 10^7 سلول MSC به صورت درون‌رگی

EAE ایجاد مدل

۱۵ سر موش ماده C57BL/6 ۷ هفته‌ای با پیتید MOG (Myelin Oligodendritic Glycoprotein) به صورت زیر ایمن شدند:

به ۳ میلی‌گرم پیتید MOG ۱۵۰۰ لاندا PBS و ۱۵۰۰ لاندا (Complement Fraud Adjuvant: CFA) ادجوانست فروند اضافه شد و به هر موش ۲۰۰ میکروگرم در میلی‌لیتر از این سوسپانسیون به صورت زیرجلدی در ناحیه پهلو تزریق شد. پس از تزریق پیتید بلا فاصله به هر موش ۲۰۰ نانوگرم سم Pertussis Toxin (پرتوزیس) به ازای ۱۰۰ میکرولیتر PBS، به صورت زیرجلدی تزریق و ۴۸ ساعت بعد همین مقدار از سم پرتوزیس یعنی معادل ۲۰۰ نانوگرم سم پرتوزیس به ازای ۱۰۰ میکرولیتر PBS به صورت زیرجلدی تزریق شد. پس از این مرحله درجه شدت علایم بالینی آسیب‌های نورونی موش امتیازبندی شد. القای مدل و امتیازبندی شدت علایم بالینی



شکل ۱ (الف) سلول‌های MSC با استفاده از خاصیت چسبندگی خود به کف ظرف و شکل دوکی و کشیده خود از سایر سلول‌های بافت چربی صفاتی متمایز می‌شود. ب) سلول‌های MSC پس از تمایز به سلول چربی و به دنبال رنگ‌آمیزی اویل رد O از حالت کشیده در شکل الف به صورت سلول‌های گرد همراه با واکوئل قرمز رنگ مشاهده شد. ج) پس از آنکه سلول‌های MSC به سلول استخوانی تمایز یافته ساختارهای کلسیمی را می‌توان به کمک رنگ‌آمیزی آلبیارین قرمز شناسایی کرد، ساختارهای کلسیمی به حالت رسوب‌های قرمز تیره و سیاه دیده می‌شود.

نتایج

یکی از روش‌هایی که در این پژوهش برای جداسازی MSC از سایر سلول‌ها به کار رفت، شناسایی نشانگرهای سطحی MSC بود. برای این منظور سلول‌های چسبیده به کف فلاسک را با کمک تریپسین جدا و برخی از نشانگرهای سطحی این سلول‌های چسبیده که در پژوهش‌های گذشته به

۵- گروه EAE با تزریق ۶ نوبت محیط رویی کشت سلول‌های MSC

در روز پانزدهم پس از ایمن شدن موش‌ها با MOG زمانی که تقریباً درجه شدت عالیم بالینی (Score) همگی موش‌ها به یک رسید، به اندازه 2×10^7 سلول MSC به صورت درون صفاتی در موش‌های گروه سوم و 10^7 سلول MSC در رگ‌های پهلویی دمی موش‌های گروه چهارم و شش نوبت محیط رویی کشت سلول‌های MSC از پاساز دوم به موش‌های گروه پنجم به صورت درون صفاتی تزریق شد (هر نوبت یک سی سی). مقدار سلول در مسیر درون صفاتی دو برابر تزریق شد زیرا بر طبق پژوهش‌های انجام شده در سال ۲۰۰۸ دسترسی و مهاجرت سلول‌های تزریق شده از طریق این مسیر به مغز، کمتر از مسیر درون‌رگی است [۱۹].

آزمون هیستوپاتولوژی مغز

در پایان ۶۰ روز، مغز تمامی موش‌ها (هر ۵ گروه) اعم از موش‌هایی که سلول‌های MSC به آنها تزریق شده و موش‌هایی که مایع کشت رویی سلول‌های MSC را دریافت کرده بودند و همچنین مغز موش‌های سالم جدا شد؛ به این صورت که استخوان جمجمه به آهستگی با قیچی برش داده و پس از جدا شدن مغز به‌منظور ثبت بافت، در پارافرم آلدھید ۱ درصد قرار داده شد. پس از ۴ ساعت بافت‌های مغز با پارافین منجمد و در پایان با دستگاه میکروتوم (Microtome) بافت‌های مغز به اندازه ۵ میکرومتر برش داده شد به‌گونه‌ای که در هر برش تمامی بخش‌های بافت مغز وجود داشته باشد. سپس برش‌ها با استفاده از رنگ هماتوکسیلین و ائزوین (Hematoxylin and Eosin) (رنگ شده و ارتباخات لوكوسیتی که اغلب در اطراف عروق متراکز شده بودند، مشخص و شمارش شد.

از آزمون تی زوج غیروابسته (Independent Pair T Test) و آنوا (ANOVA) برای تعزیه و تحلیل آماری استفاده شد.

EAE اثر سلول‌های بنیادی در ارتضاح لوکوسیتی در مغز موش‌های

نتایج زیر بدست آمد (جدول ۱):

جدول ۱ درصد نشانگرهای سطحی (CD) روی سلول‌های MSC

| درصد در MSC | CD |
|-------------|-------|
| ۸۲ | CD29 |
| ۵۳ | CD73 |
| ۶۴ | CD105 |
| ۰/۸۳ | CD31 |
| ۰/۷ | CD34 |
| ۰/۵۴ | CD45 |
| ۰/۴۳ | CD24 |
| ۰/۵۳ | CD11b |

در این آزمایش مطابق با آنچه که در گذشته انجام شده بود، برای شاخص CD29 و CD73 MSC مثبت و برای شاخص‌های CD105، CD31، CD34، CD45، CD24 و CD11b منفی شد.

منزله شاخص‌های MSC شناسایی شده بودند با استفاده از آنتی‌بادی‌های اختصاصی مشخص شد. سلول‌های بنیادی مزانشیمی با استفاده از خاصیت چسبندگی به کف فلاسک و همچنین شکل دوکی و فیبروبلاست مانند خود، از سایر سلول‌ها تشخوص داده شد (شکل ۱). سلول‌های MSC پس از تمایز به سلول چربی و به دنبال رنگ‌آمیزی اویل رد O از حالت کشیده در شکل ۱ (الف) به صورت سلول‌های همراه با واکوئل قرمز رنگ مشاهده شد. پس از آن‌که سلول‌های MSC به سلول استخوانی تمایز یافت ساختارهای کلسمی به کمک رنگ‌آمیزی آلیزارین قرمز شناسایی شد که ساختارهای کلسمی به حالت رسوب‌های قرمز تیره و سیاه دیده شد (شکل ۱). علاوه بر تمایز MSC به استخوان و چربی از آنتی‌بادی‌های مونوکلونال (Monoclonal Antibodies) برای بررسی شاخص‌های سطحی MSC استفاده شد. پس از پایان کار داده‌ها با استفاده از فلوسیتومتری و نرم‌افزار cyflogic تحلیل شد و

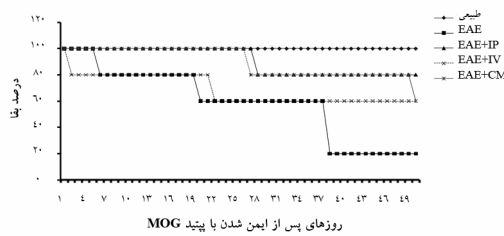
جدول ۲ زمان‌بندی شدت علایم بالینی EAE

| گروه | زمان شروع علایم | زمان حداقل علایم | زمان ثبت بیماری |
|---|-----------------|------------------|-----------------|
| گروه EAE بدون هیچ تیمار | روز ۱۵ | روز ۳۰ تا ۴۰ | روز ۴۷ تا ۶۰ |
| گروهی که درون‌رگی سلول دریافت کردند | روز ۱۵ | روز ۲۸ تا ۳۴ | روز ۴۹ تا ۶۰ |
| گروهی که درون صفاقی سلول دریافت کردند | روز ۱۵ | روز ۲۴ تا ۴۰ | روز ۴۶ تا ۶۰ |
| گروهی که محیط کشت سلول‌های مزانشیمی دریافت نمود | روز ۱۵ | روز ۳۴ تا ۴۰ | روز ۵۱ تا ۶۰ |

۲۸ تا ۳۴ حداقل شد (درجه شدت علایم بالینی = ۱/۶) و در گروهی که شش نوبت محیط کشت روبی سلول‌های MSC دریافت کرده بود، میانگین شدت علایم بالینی = ۱/۵. در گروه EAE حداقل بود (درجه شدت علایم بالینی = ۱/۶). در گروه EAE تیمار شده با سلول از طریق مسیر درون‌رگی بین روزهای ۳۶ تا ۴۹ میانگین شدت علایم بالینی به حد ثابتی در حدود ۱ رسید. در گروه EAE که محیط کشت روبی سلول‌های MSC را به صورت درون صفاقی دریافت کرده بود، شدت علایم بین روزهای ۴۰ تا ۶۰ و در گروه EAE که سلول‌های MSC را به صورت درون صفاقی دریافت کرده بود بین روزهای ۴۴ تا ۶۰ شدت علایم بالینی به حد ثابت ۱

نخستین تظاهرات بالینی EAE روز پس از اینمن شدن موش‌ها با MOG آغاز شد. این علایم در مرحله آغازین بیماری به صورت ضعیف شدن و شل شدن دم، کشیده شدن نسی دم روی زمین و از بین رفتن حالت عمود دم ظاهر شد. بین روزهای ۳۰ تا ۴۰ میانگین شدت علایم بالینی در گروه EAE که هیچ تیماری دریافت نکرده بود، به حداقل رسید (درجه شدت علایم بالینی = ۴). در گروهی که سلول را به صورت درون صفاقی دریافت کرده بود، شدت علایم بین روزهای ۲۴ تا ۴۰ حداقل شد (درجه شدت علایم بالینی = ۱/۷۵)، در گروهی که به صورت درون‌رگی سلول دریافت کرد، شدت علایم بالینی بین روزهای ۴۴ تا ۶۰ شدت علایم بالینی بین روزهای MSC دریافت کرده بود، میانگین شدت علایم بالینی بین روزهای

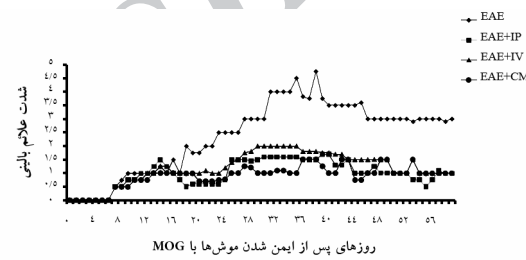
تیمار نشده، یک عدد از موش‌هایی که MSC به طور درون‌رگی دریافت کرده بود، ۲ عدد از موش‌هایی که MSC درون صفاقی دریافت کرده بودند و دو عدد از موش‌هایی که محیط رویی کشت MSC را دریافت کرده بودند، مردند (نمودار ۳).



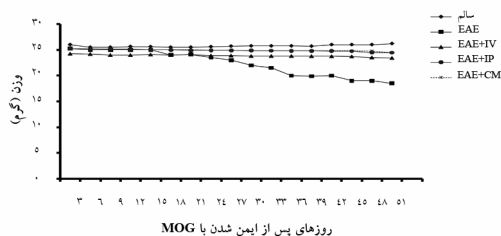
نمودار ۳ مقایسه درصد بقا در موش‌های گروه‌های مختلف از جمله گروه EAE بدون تیمار، گروه EAE که به صورت درون‌رگی (IV) سلول دریافت نموده، گروه EAE که به صورت درون صفاقی (IP) سلول دریافت نموده و گروهی که ۶ نوبت محیط رویی کشت سلول‌های بنیادی مزانشیمی (CM) دریافت نموده است.

در پایان ۶۰ روز میزان ارتراح لوكوسیتی و تعداد لوكوسیت‌ها در مغز موش‌های گروه‌های مختلف شمارش شد. در پژوهش حاضر بر مبنای تجربیاتی که از پژوهش‌های دیگر به دست آمده بود، پس از رنگ‌آمیزی هماتوکسیلین-ائوزین سلول‌هایی به عنوان سلول‌های ارتراحی شمارش شد که با هسته‌های تیره رنگ به صورت مجتمع کنار هم قرار گرفته بودند که اغلب این سلول‌ها نوتروفیل هستند؛ در صورتی که سایر سلول‌های تک هسته‌ای که به صورت پراکنده قرار دارند، رنگ هماتوکسیلین ائوزین را به خود جذب نکرده و در این شمارش قرار نگرفتند. در گروه EAE تعداد سلول‌های ارتراحی مغز شامل ۲۰۸ سلول به ازای میانگین، ۴ برش در زمینه میکروسکوپ نوری با بزرگنمایی ۲۰ برابر بود. در این گروه دو موش در پایان کار باقی مانده بود (n=۲) و به ازای هر موش دو برش ۵ میکرومتری در زمینه میکروسکوپی ۲۰ × شمارش شد. در گروهی که به صورت درون صفاقی MSC دریافت کرده بودند، میانگین سلول‌های ارتراحی مغز ۴ سلول به ازای میانگین ۶ قطعه برش از بافت مغز در سه موش (n=۳) بود. در

رسید؛ در حالی که در گروه EAE تیمار نشده بین روزهای ۳۹ تا ۵۰ شدت عالیم بالینی به حد ثابت میانگین ۳/۲۵ رسید. در گروه EAE تیمار نشده در روزهای ۱۳ تا ۵۰ شدت عالیم بالینی به طور معنی‌داری بیشتر از سایر گروه‌ها بود (P<0/05) در حالی که میانگین شدت عالیم بالینی در گروه‌هایی که سلول و محیط رویی کشت سلول‌های MSC دریافت کرده بودند، تفاوت معنی‌داری با هم نداشت (جدول ۲ و نمودار ۱). وزن موش‌هایی که سلول MSC و یا محیط رویی کشت سلول‌های MSC دریافت کرده بودند به طور معنی‌داری در مقایسه با گروه EAE تیمار نشده بهبود یافت (P<0/05) (نمودار ۲).



نمودار ۱ شدت عالیم بالینی EAE در گروه‌های مختلف، IP=درون صفاقی، IV=درون‌رگی، CM=محیط رویی کشت سلول‌های MSC

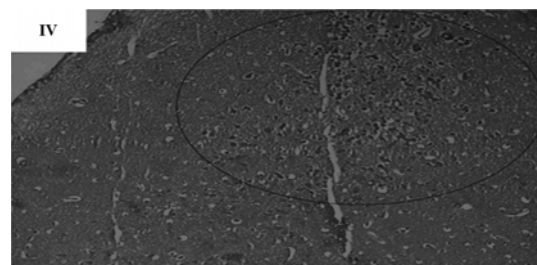
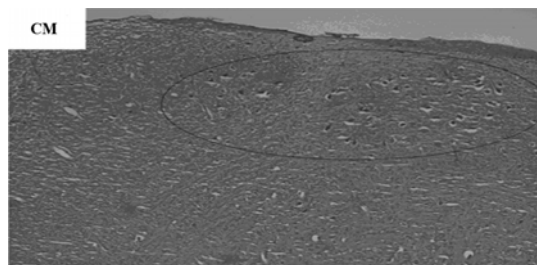


نمودار ۲ مقایسه وزن در گروه‌های سالم، EAE بدون تیمار، گروه EAE به صورت درون‌رگی (IV) سلول دریافت نموده و گروه EAE که به صورت درون صفاقی (IP) سلول دریافت نموده و گروهی که محیط رویی کشت سلول‌های بنیادی (CM) مزانشیمی دریافت نموده است. وزن گروه EAE در مقایسه با گروه سالم و گروه‌های تیمار شده به طور معنی‌داری کمتر بود (P<0/03) در حالی که وزن موش‌ها، در گروه‌هایی که سلول یا محیط کشت دریافت کرده بودند تفاوت معنی‌داری با هم نداشت اما تفاوت وزن گروه‌های تیمار شده با سلول و محیط کشت با گروه EAE تیمار نشده معنی‌دار بود. P<0/05

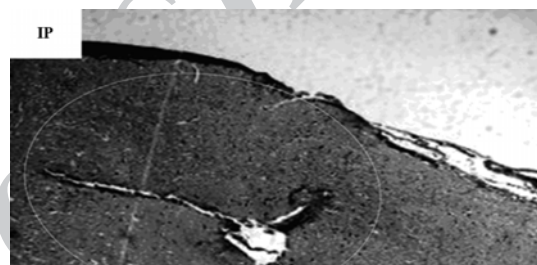
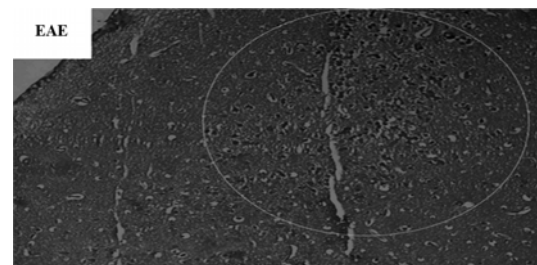
پس از پایان ۵۰ روز، سه عدد از موش‌های گروه EAE

اثر سلول‌های بنیادی در ارتباخ لوكوسیتی در مغز موش‌های EAE

محیط رویی کشت MSC را دریافت کرده بودند، میانگین سلول‌های ارتباخی بافت مغز در سه موش ($n=3$) به ازای میانگین ۶ برش در یک زمینه میکروسکوپ با بزرگنمایی $\times 20$ عدد بود (شکل ۲ و نمودار ۴).

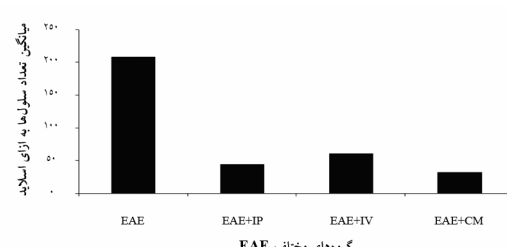


گروهی که به صورت درون‌رگی MSC دریافت کرده بودند، سلول‌های ارتباخی مغز در یک زمینه میکروسکوپ با بزرگنمایی $\times 20$ میانگین سلول‌ها ۶۱ سلول به ازای میانگین ۶ قطعه برش در چهار موش ($n=4$) و در گروهی که ۶ نوبت



شکل ۲ میزان ارتباخ لوكوسیتی در مغز گروه‌های EAE تیمار شده و تیمار نشده به دنبال رنگ آمیزی هماتوکسیلین-ائوزین و شمارش سلول‌های هسته‌دار و تیره رنگ که به صورت تجمعی در کنار هم قرار گرفته بودند. در گروه EAE به ازای دو موش ($n=2$) سلول‌های چهار اسلاید شمارش شد و میانگین ۲۰۸ سلول در یک زمینه میکروسکوپ با بزرگنمایی $\times 20$ در این گروه وجود داشت. در گروهی که MSC به صورت درون صفاقی (IP) دریافت کرده بود، میانگین سلول‌های ارتباخی مغز به ازای ۶ قطعه برش در یک زمینه میکروسکوپ با بزرگنمایی $\times 20$ بود، در گروهی که به صورت درون‌رگی (IV) MSC دریافت کرده بود، میانگین سلول‌های ارتباخی مغز ۶۱ سلول به ازای ۶ قطعه برش در یک زمینه میکروسکوپ با بزرگنمایی $\times 20$ در چهار موش ($n=4$) بود و در گروهی که محیط رویی کشت (CM) را دریافت کرده بود، میانگین سلول‌های ارتباخی بافت مغز در سه موش ($n=3$) به ازای ۶ برش، ۳۱ عدد بود.

گروه‌های تیمار شده با سلول و محیط کشت سلول‌های MSC در مقایسه با موش‌های EAE تیمار نشده کاهش معنی‌داری داشت که این کار تأیید کننده مطالعات دیگر است که در آن‌ها از سلول‌های بنیادی با منشاء مختلف از جمله مغز استخوان یا پیش‌سازهای نورونی برای درمان موش‌های EAE استفاده شده است و نتایج با کاهش معنی‌داری در شدت علایم بالینی و ارتباخ لوكوسیتی در مغز همراه بود [۲۰-۲۲]. در مطالعه حاضر اثر MSC‌های جدا شده از بافت چربی روی کاهش شدت EAE هم از روی علایم بافت‌شناسی مغز و هم از نظر شدت علایم بیماری سنجدیده شد که انطباق شدت علایم بالینی و



نمودار ۴ مقایسه ارتباخ لوكوسیتی در گروه‌های EAE، درون صفاقی (IP)، درون‌رگی (IV)، محیط رویی کشت سلول‌های MSC (CM)

بحث

در این پژوهش مشاهده شد که ارتباخ لوكوسیتی در

نموده و مهاجرت آن‌ها را به سیستم عصبی مرکزی با استفاده از پروتئین نشاندار GFP (Green Fluorescent Protein) دریابی و مشاهده کردند. اگر چه مهاجرت این سلول‌ها به سیستم عصبی مرکزی از طریق مسیر درون صفاقی نسبت به تزریق درون‌رگی به مقدار کمتری اتفاق می‌افتد [۲۳] اما ثابت شد که تزریق سلول‌ها از این طریق و حضورشان در سیستم عصبی مرکزی بر کاهش شدت عالیم EAE نقش دارد. در تحقیقات زاپیا (Zappia) و ژردونی (Gerdoni) (در سال‌های ۲۰۰۵ و ۲۰۰۷ ثابت شد که تزریق درون‌رگی MSC باعث کاهش ارتashاج لوکوسیتی از طریق تعديل ایمنی در اندام‌های لنفاوی محیطی و مغز می‌شود [۱۱]. در بررسی که توسط محققان حاضر انجام گرفت مشاهده شد که شدت عالیم بیماری در گروهی که به صورت درون‌رگی سلول دریافت کرده بودند بیشتر از سایر گروه‌های تیمار شده بود. در این پژوهش مقدار سلول در مسیر درون صفاقی دو برابر تزریق شد زیرا در مسیر درون‌رگی ممکن است سلول‌ها دچار میکروآمبولی (Microemboli) (ریوی شده و در ریه تجمع پیدا کرده و به دام افتند و در نتیجه به سیستم عصبی مرکزی نرسند. از طرف دیگر زمانی که سلول از طریق مسیر درون‌رگی تزریق می‌شود مستقیماً وارد طحال شده و در نتیجه برخلاف مسیر درون صفاقی در فاصله زمانی کوتاه‌تری به سیستم عصبی مرکزی می‌رسند. در این آزمایش اثر ۶ سی سی محیط کشت سلول‌های MSC بر شدت عالیم بالینی EAE و ارتashاج لوکوسیتی در مغز و وزن موش‌ها تقریباً مشابه اثر تزریق دو میلیون سلول از طریق مسیر درون صفاقی بود که این امر می‌تواند بیانگر آن باشد که سلول‌های MSC برای اعمال آثار ترمیمی، بازسازی و مهاری خود لزوماً نیازی به تماس مستقیم با سلول‌های بافت هدف ندارند بلکه از فاصله دور و به واسطه میانجی‌ها و مواد واکنشگر ترشحی که تولید می‌کنند، نیز می‌توانند آثار خود را بر بافت هدف بر جا بگذارند. در این بررسی شدت عالیم بالینی در گروه‌های تیمار شده با سلول و محیط رویی کشت MSC تقریباً یکسان بود در صورتی که وزن موش‌ها و ارتashاج لوکوسیتی در موش‌هایی که

ارتashاج لوکوسیتی در مغز و ارتباط آن با شدت بیماری مشاهده شد. نتایج ما نشان می‌دهد شدت عالیم بالینی در روزهای مختلف نوسان دارد و در روزهای متوالی شدت عالیم بالینی بالا و پایین می‌آید که این امر در مورد EAE که یک بیماری مزمن (Relapse- Remission) با فازهای متناوب حمله و بهبود است، طبیعی است چرا که در MS و مدل حیوانی آن پس از یک دوره ظاهر شدن عالیم، سیستم ترمیمی درون‌زاد بدن از جمله سلول‌های پیش‌ساز عصبی درون‌زاد، باعث بهبود زودگذر عالیم می‌شود.

سلول‌های MSC ترجیحاً به مناطق آسیب دیده در سیستم عصبی مرکزی مهاجرت کرده و با ترشح فاکتورهای سرکوب (Interleukin 10: IL-10)، (Transforming Growth Factor Beta: TGF-β)، (IL-10)، باعث کاهش ارتashاج لنفوسيت‌ها و کاهش مهاجرت سلول‌ها به این ناحیه و سرکوب سیستم ایمنی هم به صورت سیستمیک و هم موضعی در مغز می‌شوند. در مطالعات پیشین نیز نقش تعديل کنندگی ایمنی سلول‌های MSC اثبات شده بود [۲۳، ۲۴]. در این آزمایش ۶ نوبت محیط رویی کشت MSC به یکی از گروه‌ها تزریق شد زیرا در پژوهش دیگری که برای بررسی اثر MSC روی بیماری‌های نقص کلیوی انجام شده بود، از یک نوبت محیط رویی کشت استفاده شد و پاسخی در بهبودی بیماری مشاهده نشد [۲۵]. تزریق محیط رویی کشت سلول‌های MSC از آنجا که هم حاوی فاکتورهای ترشحی لازم برای رشد سلول‌های پیش‌ساز عصبی آندوزن است و هم فاکتورهایی دارد که عمل DC را مهار کرده و DC تحملی را ایجاد و مانع تکثیر T خودداشترگر می‌شود، می‌تواند در کاهش شدت عالیم و ارتashاج لوکوسیتی مغز نقش داشته باشد زیرا لنفوسيت T به عنوان سلول کمک کننده برای تکثیر سایر سلول‌ها عمل می‌کند و در نتیجه مهار لنفوسيت T به واسطه سلول‌های MSC باعث بهبود شدت عالیم بیماری می‌شود. در سال ۲۰۰۸ گوردون (Gordon) و همکاران سلول‌های بنیادی مزانشیمی را به صورت درون صفاقی به موش‌های C57 تزریق

MS سلول‌ها در درون بطن‌های مغز می‌توانند برای درمان به عنوان راه کار جدیدتری بررسی شود.

تشکر و قدردانی

این پژوهش با حمایت مالی پژوهشکده بنیادت و همچنین بودجه‌ای که دانشگاه تربیت مدرس برای پژوهش‌های مربوط به سلول‌های بنیادی در نظر گرفته بود، انجام شد که در اینجا مراتب قدردانی خود را نسبت به حامیان مالی این تحقیق ابراز می‌داریم.

به صورت درون صفاقی سلول دریافت کرده بودند و همچنین در گروهی که محیط رویی کشت سلول‌های MSC را دریافت کرده بودند، با گروهی که MSC به صورت درون‌رگی دریافت کرده بود متفاوت بود که عدم تطابق شدت علایم بالینی با وزن موش‌ها و ارت翔اح لوکوسیتی در گروههای مختلف شاید به این علت باشد که علایم بالینی به طور روزانه ثبت شد در حالی که وزن موش‌ها هر سه روز یکبار و ارت翔اح لوکوسیتی پس از پایان ۶۰ روز ثبت شد؛ به عبارت دیگر مراحل کار به گونه‌ای بود که همزمانی در اجرای این سه آزمایش وجود نداشت. با توجه به پژوهش حاضر و مطالعاتی که تا اکنون انجام شده، تریق

منابع

- [1] Keegan BM, Noseworthy JH. Multiple sclerosis. Annu Rev Med 2005; 53: 285-302.
- [2] Anderson DW, Ellenberg JH, Leventhal CM, Reingold SC, Rodriguez M, Silberberg DH. Revised estimate of the prevalence of multiple sclerosis in the United States. Ann Neurol 1992; 31(3): 333-6.
- [3] Oksenberg JR, Barcellos LF. The complex genetic aetiology of multiple sclerosis. J Neurovirol 2002; 6 Suppl 2: S10-2.
- [4] Murray TJ. The history of multiple sclerosis: the changing frame of the disease over the centuries. J Neurol Sci 2009; 277 Suppl 1: S3-8.
- [5] Noseworthy JH, Lucchinetti C, Rodriguez M, Weinshenker BG. Multiple sclerosis. N Engl J Med 2000; 343(13): 938-52.
- [6] Makar TK, Trisler D, Bever CT, Goolsby JE, Sura KT, Balasubramanian S, Sultana S, Patel N, Ford D, Singh IS, Gupta A, Valenzuela RM, Dhib-Jalbut S. Stem cell based delivery of IFN-beta reduces relapses in experimental autoimmune encephalomyelitis. J Neuroimmunol 2005; 164(1-2): 67-81.
- [7] Furlan R, Cuomo C, Martino G. Animal models of multiple sclerosis. Methods Mol Biol 2009; 549: 157-73.
- [8] Corboy JR, Goodin DS, Frohman EM. Disease-modifying Therapies for Multiple Sclerosis. Curr Treat Options Neurol 2003; 5(1): 35-54.
- [9] Trapp BD, Ransohoff R, Rudick R. Axonal pathology in multiple sclerosis: relationship to neurologic disability. Curr Opin Neurol 1992; 12(3): 295-302.
- [10] Augello A, Tasso R, Negrini SM, Amateis A, Indiveri F, Cancedda R, Pennesi G. Bone marrow mesenchymal progenitor cells inhibit lymphocyte proliferation by activation of the programmed death 1 pathway. Eur J Immunol 2005; 35(5): 1482-90.
- [11] Geroni E, Gallo B, Casazza S, Musio S, Bonanni I, Pedemonte E, Mantegazza R, Frassoni F, Mancardi G, Pedotti R, Uccelli A. Mesenchymal stem cells effectively modulate

- pathogenic immune response in experimental autoimmune encephalomyelitis. *Ann Neurol* 2007; 61(3): 219-27.
- [12] Zappia E, Casazza S, Pedemonte E, Benvenuto F, Bonanni I, Gerdoni E, Giunti D, Ceravolo A, Cazzanti F, Frassoni F, Mancardi G, Uccelli A. Mesenchymal stem cells ameliorate experimental autoimmune encephalomyelitis inducing T-cell anergy. *Blood* 2005; 106(5): 1755-61.
- [13] Aharonowiz M, Einstein O, Fainstein N, Lassmann H, Reubinoff B, Ben-Hur T. Neuroprotective effect of transplanted human embryonic stem cell-derived neural precursors in an animal model of multiple sclerosis. *PLoS One* 2008; 3(9): e3145.
- [14] Snowden JA, Brooks PM, Biggs JC. Haemopoietic stem cell transplantation for autoimmune diseases. *Br J Haematol* 2003; 99(1): 9-22.
- [15] Uccelli A, Zappia E, Benvenuto F, Frassoni F, Mancardi G. Stem cells in inflammatory demyelinating disorders: a dual role for immunosuppression and neuroprotection. *Expert Opin Biol Ther* 2006; 6(1): 17-22.
- [16] Caplan AI. Adult mesenchymal stem cells for tissue engineering versus regenerative medicine. *J Cell Physiol* 2007; 213(2): 341-7.
- [17] Dvorakova J, Hruba A, Velebny V, Kubala L. Isolation and characterization of mesenchymal stem cell population entrapped in bone marrow collection sets. *Cell Biol Int* 2008; 32(9): 1116-25.
- [18] Cowan CM, Shi YY, Aalami OO, Chou YF, Mari C, Thomas R, Quarto N, Contag CH, Wu B, Longaker MT. Adipose-derived adult stromal cells heal critical-size mouse calvarial defects. *Nat Biotechnol* 2004; 22(5): 560-7.
- [19] Constantin G, Marconi S, Rossi B, Angiari S, Calderan L, Anghileri E, Gini B, Bach SD, Martinello M, Bifari F, Galiè M, Turano E, Budui S, Sbarbati A, Krampera M, Bonetti B. Adipose-derived mesen-chymal stem cells ameliorate chronic experimental autoimmune encephalomyelitis. *Stem Cells* 2009; 27(10): 2624-35.
- [20] Hsu YC, Lee DC, Chiu IM. Neural stem cells, neural progenitors, and neurotrophic factors. *Cell Transplant* 2007; 16(2): 133-50.
- [21] Pluchino S, Quattrini A, Brambilla E, Gritti A, Salani G, Dina G, Galli R, Del Carro U, Amadio S, Bergami A, Furlan R, Comi G, Vescovi AL, Martino G. Injection of adult neurospheres induces recovery in a chronic model of multiple sclerosis. *Nature* 2003; 422(6933): 688-94.
- [22] Pluchino S, Zanotti L, Rossi B, Brambilla E, Ottoboni L, Salani G, Martinello M, Cattalini A, Bergami A, Furlan R, Comi G, Constantin G, Martino G. Neurosphere-derived multipotent precursors promote neuroprotection by an immunomodulatory mechanism. *Nature* 2005; 436(7048): 266-71.
- [23] Gordon D, Pavlovsk G, Glover CP, Uney JB, Wraith D, Scolding NJ. Human mesenchymal stem cells abrogate experimental allergic encephalomyelitis after intraperitoneal injection, and with sparse CNS infiltration. *Neurosci Lett* 2008; 448(1): 71-3.
- [24] Kassis I, Grigoriadis N, Gowda-Kurkalli B, Mizrahi-Kol R, Ben-Hur T, Slavin S, Abramsky O, Karussis D. Neuroprotection and immunomodulation with mesenchymal stem cells in chronic experimental autoimmune

اثر سلول‌های بنیادی در ارتضاح لوكوسیتی در مغز موش‌های EAE

encephalomyelitis. Arch Neurol 2008; 65(6): 753-61.

[25] Gheisari Y, Ahmadbeigi N, Naderi M, Nassiri

SM, Nadri S, Soleimani M. Stem cell-conditioned medium does not protect against kidney failure. Cell Biol Int 2011; 35(3): 209-13.